

## Влияние времени освещения на отжиг созданных светом метастабильных дефектов в $a\text{-Si:H}$ $p$ -типа

© А.Г. Казанский

Московский государственный университет им. М.В. Ломоносова, 119899 Москва, Россия

(Получена 20 мая 1996 г. Принята к печати 24 июня 1996 г.)

В области температур 360–400 К исследовано влияние времени освещения на релаксацию концентрации созданных светом метастабильных дефектов в легированных бором пленках  $a\text{-Si:H}$ . Релаксация концентрации происходила по растянутой экспоненте ( $\sim \exp(-(t/\tau_r)^\beta)$ ). В области исследованных температур и времен освещения (0.1–7.0 с) коэффициент  $\beta = 0.55–0.65$ , а энергия активации  $E_a$  температурной зависимости эффективного времени  $\tau_r$  составляла 0.97–1.07 эВ. С ростом освещения наблюдалось слабое увеличение  $E_a$  и  $\beta$ . Величина  $\tau_r$  возрастала при увеличении времени освещения в соответствии с зависимостью, близкой к логарифмической. Проведено сопоставление полученных экспериментальных результатов с существующими микроскопическими моделями образования и отжига метастабильных дефектов в пленках  $a\text{-Si:H}$ .

Известно, что генерация неравновесных носителей в аморфном гидрированном кремнии ( $a\text{-Si:H}$ ) приводит к образованию дефектов типа оборванных связей, которые исчезают после отжига при температурах 100–180 К (в зависимости от типа и уровня легирования). Несмотря на то, что метастабильные состояния в  $a\text{-Si:H}$  изучаются более 15 лет, остаются неясными микроскопические процессы, приводящие к их появлению. В настоящее время предложены два класса моделей, объясняющих кинетику изменения концентрации дефектов при их возникновении и отжиге. В соответствии с одним из них [1] процессом, определяющим скорость изменения концентрации дефектов, является диффузия водорода, участвующего в процессе образования и отжига дефектов. В пользу данной модели свидетельствует корреляция коэффициента диффузии и скорости изменения концентрации дефектов в нелегированных материалах и материалах  $n$ - и  $p$ -типа [2]. В соответствии с другим классом моделей сами дефекты, в частности распределение энергетических барьеров, соответствующих их образованию и отжigu, определяют скорость переходных процессов [3]. Согласно этим моделям [3], при образовании дефектов в результате освещения должна возникать зависимость эффективного времени релаксации (или отжига) концентрации дефектов  $\tau_r$  от времени освещения ( $t_{ill}$ ). Для моделей, в которых скорость переходных процессов определяется диффузией водорода, такая зависимость не ожидается [3].

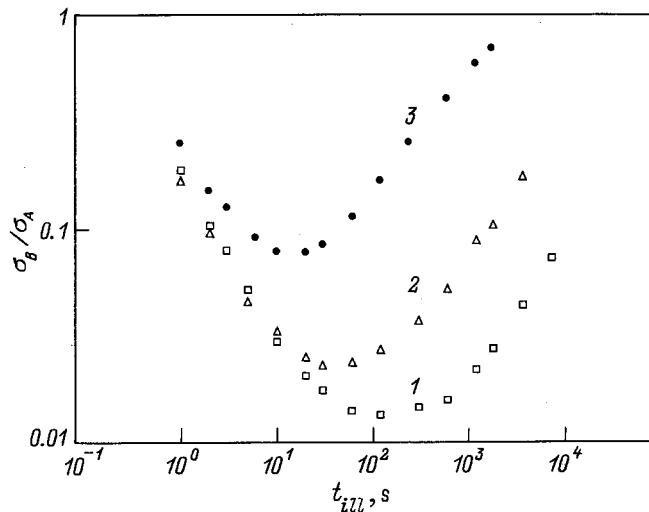
Имеющиеся данные указывают на то, что большим  $t_{ill}$  соответствуют большие значения  $\tau_r$  [4–6], однако зависимость  $\tau_r$  от  $t_{ill}$ , насколько нам известно, не изучалась.

Такие исследования были проведены в настоящей работе для пленок  $a\text{-Si:H}$   $p$ -типа, в которых наблюдается наибольшая среди нелегированных пленок скорость переходных процессов. Измерения проводились на пленках  $a\text{-Si:H}$ , полученных разложением смеси газов моносилана ( $\text{SiH}_4$ ) и диборана ( $\text{B}_2\text{H}_6$ ) в

тлеющем разряде при температуре подложки (кварц) 250 °С. Объемное отношение  $\text{B}_2\text{H}_6$  к  $\text{SiH}_4$  в камере реактора составляло  $k = 10^{-5}$ . Световая деградация образцов осуществлялась излучением лампы накаливания через тепловой фильтр с интенсивностью 60 мВт/см<sup>2</sup>. Перед измерениями пленки отжигались в вакууме 10<sup>-3</sup> Па в течение 30 мин при температуре 180 °С. Изменения проводимости ( $\sigma$ ) после выключения освещения регистрировались с помощью запоминающего цифрового осциллографа С9–8. Импульс освещения в пределах 0.05–10 с формировался фотозатвором.

На рис. 1 показано влияние времени освещения при различных температурах на относительную величину проводимости  $\sigma_B/\sigma_A$ , где  $\sigma_A$  и  $\sigma_B$  — соответственно проводимость отожженного образца и проводимость образца после его освещения. Измерения проводились через 3 с после выключения освещения. Как видно, зависимость  $\sigma_B(t_{ill})$  имеет немонотонный характер.  $\sigma_B$  уменьшается при малых временах и возрастает при больших временах освещения. Время  $t_m$ , соответствующее минимальному значению  $\sigma_B$ , уменьшается с ростом температуры. Подобная зависимость указывает на возможность конкуренции двух процессов, определяющих изменение  $\sigma_B$ . Первый процесс, определяющий уменьшение  $\sigma_B$  при малых временах, связывают с увеличением концентрации дефектов и смещением уровня Ферми ( $E_F$ ) к середине щели подвижности [7,8]. Относительно процесса, приводящего к увеличению  $\sigma_B$ , единая точка зрения отсутствует. По мнению авторов [7], увеличение  $\sigma_B$  связано с ростом концентрации электрически активных атомов бора под влиянием освещения. В то же время в работе [8] увеличение  $\sigma_B$  объясняют образованием в результате освещения дефектов в слое окисла на поверхности пленки, приводящем к изгибу зон вблизи поверхности пленки и созданию обогащенных носителями слоя.

Как видно из рис. 1, для корректного исследования влияния  $t_{ill}$  на  $\tau_r$  в условиях создания лишь оборванных связей необходимо проводить измерения при  $t_{ill} < t_m$ .



**Рис. 1.** Зависимость относительной проводимости ( $\sigma_B/\sigma_A$ ) пленки  $a\text{-Si:H}$ , легированной бором, от времени освещения ( $t_{ill}$ ) при различных температурах  $T$ , К: 1 — 360, 2 — 380, 3 — 400.

На вставке рис. 2 показана релаксация проводимости после освещения пленки в течение времени  $t_{ill}$ . После выключения света наблюдается уменьшение  $\sigma$ , связанное с релаксацией фотопроводимости, до значений, меньших  $\sigma_A$ . Затем  $\sigma$  возрастает стремясь к  $\sigma_A$ , что связано с отжигом дефектов, созданных светом, и соответственно смещением уровня Ферми к краю валентной зоны. Смещение уровня Ферми относительно его положения в отожженном образце ( $E_F^A$ ) определяется выражением  $\Delta E_F = E_F^B - E_F^A = kT \cdot \ln(\sigma_A/\sigma_B)$ . На рис. 2 показана релаксация  $\Delta E_F$ , соответствующая области увеличения  $\sigma$  (области отжига дефектов), после освещения пленки в течение различного времени. Для  $t_{ill} = 0.52$  с показан также участок изменения  $\Delta E_F$ , соответствующий релаксации фотопроводимости.

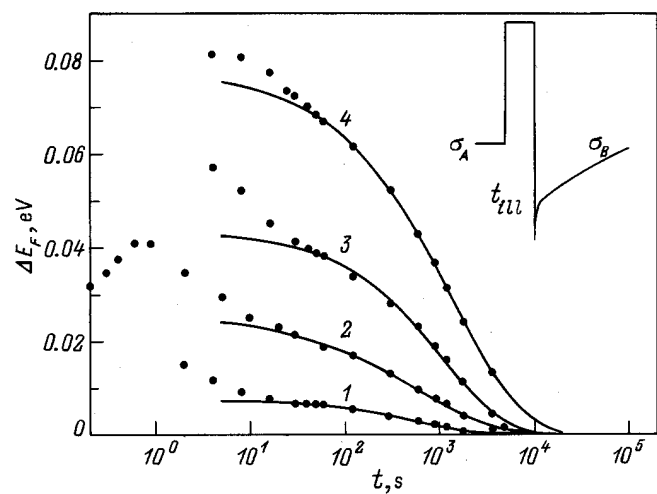
В предположении независимости плотности состояний от энергии в области смещения  $E_F$  можно считать, что  $\Delta N \sim \Delta E_F$ , где  $\Delta N$  — изменение концентрации дефектов, приводящее к смещению  $E_F$ . Таким образом, релаксация  $\Delta E_F$  в области увеличения  $\sigma$  должна отражать релаксацию концентрации созданных светом дефектов.

Из рис. 2 видно, что на кривой релаксации  $\Delta E_F$  (соответствующей области увеличения  $\sigma$ ) можно выделить два участка — участок быстрого спада  $\Delta E_F$  и участок изменения  $\Delta E_F$ , который можно описать растянутой экспонентой ( $\Delta E_F \sim \exp(-(t/\tau_r)^\beta)$ ). Расчетные кривые для второго участка показаны на рис. 2. По мере увеличения времени освещения вклад первого участка в релаксацию  $\Delta E_F$  уменьшается. Заметим, что в работах [9,10] с помощью измерения переходной емкости в  $p-n$ -структуратах на основе  $a\text{-Si:H}$  исследовалась релаксация концентрации дефек-

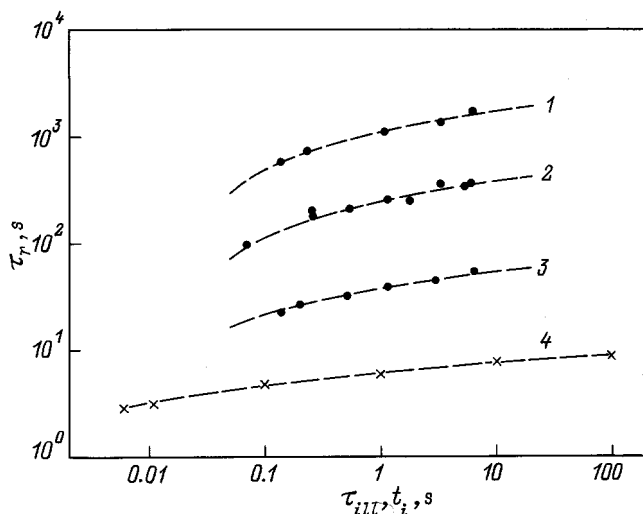
тов в  $a\text{-Si:H}$  *p*-типа, создаваемых в результате инжеекции носителей импульсами напряжения различной длительности ( $\tau_i$ ). Авторы [9,10] также наблюдали два характерных участка на кривой релаксации, первый из которых описывается степенной зависимостью и исчезает при увеличении длительности импульса инжеекции, а второй удовлетворительно описывается растянутой экспонентой. Используя модель образования дефектов Адлера [11], авторы [9,10] объясняют наличие первого участка происходящим при образовании метастабильного дефекта изменением конфигурации. Второй участок релаксации связывается с отжигом метастабильных дефектов.

В исследованной области температур 360–400 К и длительностей освещения 0.1–7 с коэффициент  $\beta = 0.55–0.65$ , а энергия активации  $E_a$  температурной зависимости  $\tau_r$  составляла 0.97–1.07 эВ, что соответствует энергиям активации отжига дефектов, полученным в других работах [3]. С ростом  $t_{ill}$  наблюдалось слабое увеличение  $E_a$  и  $\beta$ .

На рис. 3 показаны зависимости  $\tau_r$  от  $t_{ill}$ , полученные из анализа второго участка кривых релаксации  $\Delta E_F$  для различных температур. На этом же рисунке для сравнения представлена зависимость  $\tau_r$  от  $t_i$ , полученная при  $T = 439$  К в работе [10] для слаболегированного  $a\text{-Si:H}$  *p*-типа. Согласно [10],  $\tau_r \sim \ln(t_i)$ . Наши данные для  $\tau_r$  также удовлетворительно описываются логарифмической зависимостью от  $t_{ill}$  (см. рис. 3). Полученная нами зависимость  $\tau_r(t_{ill})$  оказалась существенно слабее зависимости, предсказываемой теорией ( $\tau_r \sim t_{ill}$ ), развитой в работе [3] в предположении экспоненциального распределения концентрации дефектов по энергиям их образования. Наблюданное отличие может быть связано с более слабой зависимостью концентрации



**Рис. 2.** Релаксация смещения уровня Ферми ( $\Delta E_F$ ) после освещения пленки при  $T = 360$  К в течение различного времени. Сплошные кривые получены методом нелинейной регрессии для растянутых экспонент.  $t_{ill}$ , с: 1 — 0.14, 2 — 0.52, 3 — 1.1, 4 — 3.3.



**Рис. 3.** Зависимости времени релаксации  $\tau_r$  от времени освещения  $t_{ill}$  при различных температурах (1–3), полученные в настоящей работе, и от времени инжеекции ( $t_i$ ) при  $T = 439$  К, полученные в работе [4]. Штриховые кривые соответствуют логарифмической зависимости.  $T$ , К: 1 — 360, 2 — 380, 3 — 400.

дефектов от энергии их образования по сравнению с экспоненциальной. Тем не менее полученные результаты указывают на то, что скорость образования и отжига метастабильных дефектов в значительной степени связана непосредственно с самими дефектами и определяется двухступенчатым процессом, состоящим из захвата носителя на состояния, являющиеся источником возникновения оборванной связи, и затем разрывом связи.

Автор выражает искреннюю благодарность проф. В. Фусу и д-ру Х. Меллу за предоставление пленок  $a\text{-Si:H}$  р-типа.

Работа выполнена при финансовой поддержке Госкомвуза РФ (грант N 95-0-7.I-153) и INTAS (грант N 93-1916).

## Список литературы

- [1] W.B. Jackson, J. Kakalios. Phys. Rev. B, **37**, 1020 (1988).
- [2] W.B. Jackson, J.M. Marshall, M.D. Moyer. Phys. Rev. B, **39**, 1164 (1989).
- [3] R.S. Crandall. Phys. Rev. B, **43**, 4057 (1991).
- [4] T.J. McMahon, R. Tsu. Appl. Phys. Lett., **51**, 412 (1987).
- [5] T. Kumeda, H.A. Morimoto, T. Shimizu. Jap. J. Appl. Phys., **25**, L654 (1986).
- [6] R.S. Crandall. Phys. Rev. B, **36**, 2645 (1987).
- [7] J. Jang, S.C. Park, S.C. Kim, C. Lee. Appl. Phys. Lett., **51**, 1804 (1987).
- [8] А.Г. Казанский. Вест. МГУ, Сер. 3, Физика астрономия, **33**, 70 (1992).
- [9] M.W. Carlen, Y. Xu, R.S. Crandall. Phys. Rev. B, **51**, 2173 (1995).
- [10] R.S. Crandall, M.W. Carlen. J. Non-Cryst. Sol., **190**, 133, (1995).
- [11] D. Adler. Solar Cells, **9**, 133 (1982).

Редактор В.В. Чалдышиев

## The influence of illumination time on annealing light-induced metastable defects in a p-type $a\text{-Si:H}$

A.G. Kazanski

Moscow State University,  
119899 Moscow, Russia

**Abstract** The influence of illumination time on relaxation of light-induced defect density in a boron-doped  $a\text{-Si:H}$  has been studied in the 360–400 K temperature range. Decay kinetics for these light-induced defects is expressed by an extended exponential function ( $\exp(-(t/\tau_r)^\beta)$ ). The activation energy  $E_a$  of the temperature dependence of the characteristic time  $\tau_r$  is 0.97–1.07 eV and parameter  $\beta$  is 0.55–0.65 within the investigated temperature range and 0.1–7.0 s illumination time. The values of  $E_a$  and  $\beta$  increase slightly when the illumination time increases. The increase of  $\tau_r$  with the illumination time exhibits a logarithmic dependence. Experimental results are discussed in the framework of existing microscopic models of metastable defects in  $a\text{-Si:H}$ .

E-mail: Kazanski @scon279.phys.msu.su